

血流信号。本例宫颈 NECC 内探及高速高阻型动脉血流频谱,文献少见报道,可能由于 NECC 具有完整血管壁结构,高速高阻血流频谱为其超声特征之一。鉴别诊断:①宫颈肌瘤,来源于宫颈间质

内或血管壁肌组织,多呈圆形或椭圆形肿块,边界清晰;②宫颈鳞癌和腺癌,多为低回声不规则肿块,边界不清,基底部可有浸润,内部回声杂乱,PW 多可探及低速低阻型血流频谱。

Papillary renal cell carcinoma: Case report 乳头状肾细胞癌 1 例

徐校胜¹,时高峰¹,孙雪梅²

(1. 河北医科大学第四医院 CT 室,2. 病理科,河北 石家庄 050010)

[Keywords] kidney neoplasms; carcinoma, papillary; magnetic resonance imaging

[关键词] 肾肿瘤;癌,乳头状;磁共振成像

DOI: 10.13929/j.issn.1003-3289.2021.07.037

[中图分类号] R692; R445.2 [文献标识码] B [文章编号] 1003-3289(2021)07-1113-01

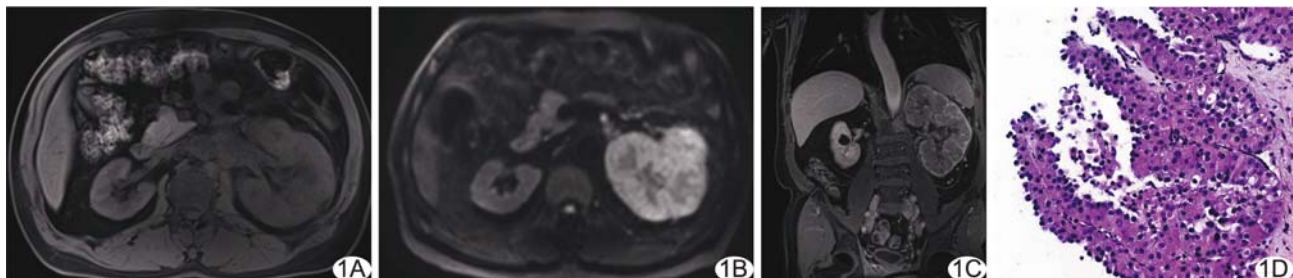


图 1 乳头状肾细胞癌 A. 轴位脂肪抑制平扫 T1WI; B. DWI($b=800 \text{ s/mm}^2$); C. 冠状位增强髓质期 MRI; D. 病理图(HE, $\times 40$)

患者男,58岁,无明显诱因出现腹胀,饭后加重伴胸闷2个月;既往体健。查体:左中腹扪及约10 cm×8 cm肿物,触之坚硬,固定,边界尚清,有压痛并向会阴部放射。实验室检查未见明显异常。腹部MRI:左肾弥漫性增大,约15.2 cm×8.7 cm×7.0 cm,信号不均,肾门区软组织信号增多(图1A),脂肪抑制T2WI示弥漫肿大的肾组织内见多发点灶状高信号,弥散加权成像(diffusion-weighted imaging, DWI)示左肾呈弥漫性高信号,髓质区信号稍低于皮质(图1B);增强扫描皮质期左肾强化低于右肾,髓质期示左肾皮质变薄,轮廓尚存在,肾柱显示清晰(图1C)。右肾内见类圆形长T1WI、长T2WI信号,长径约2.5 cm,边缘清楚,增强扫描未见强化。MR诊断为左肾恶性肿瘤,不排除淋巴瘤;左肾门多发淋巴结转移;右肾囊肿。行左肾根治性切除术,术中见左肾弥漫性肿大,约16.0 cm×11.2 cm×10.5 cm,表面泛红,周围筋膜增厚。术后病理检查:光镜下见癌细胞呈小立方形,乳头状排列(图1D);免疫组织化学:AE1/AE3(+),Vim(+),CK7(+),CAIX(+),CD10(-),E-cadherin(+),EMA(+),Ki67(阳性细胞数15%),TFE3(-)。

病理诊断:左肾乳头状肾细胞癌(弥漫浸润型)。

讨论 肾细胞癌约占全部肾脏恶性肿瘤的80%~90%,起源于肾小管上皮,临床表现不典型。乳头状肾细胞癌发病率仅次于透明细胞癌,MRI常表现为肾内局灶性肿块,T1WI呈稍低信号,T2WI多为低信号,可能与瘤体内存在含铁血黄素有关;增强扫描肿瘤呈渐进性强化,DWI呈高或稍高信号。弥漫浸润型乳头状肾细胞癌临床罕见。弥漫浸润型透明细胞癌影像学主要表现为全肾组织弥漫受累,肾脏形态近似正常,肾柱、肾盏等结构尚存,皮髓质期强化明显,但低于正常肾脏,DWI呈弥漫性高信号,内可见多个坏死灶。本例左肾弥漫性受侵,影像学表现与透明细胞癌类似,但未见明显坏死灶。此外,本病还需与原发性肾淋巴瘤及黄色肉芽肿性肾盂肾炎鉴别。弥漫浸润型肾淋巴瘤多双侧发病,极少见肾静脉、下腔静脉瘤栓形成。黄色肉芽肿性肾盂肾炎临床症状明显,受累肾多弥漫肿大,肾周间隙密度增高,易见囊变、坏死。临床鉴别困难时,可行影像学引导下穿刺活检,依靠病理检查以确诊。

[第一作者] 徐校胜(1990—),男,河北邯郸人,硕士,医师。E-mail: 1447586351@qq.com

[收稿日期] 2020-09-09 [修回日期] 2021-05-03